

*М.Б.Гейликман*

## О МЕДЛЕННОМ СКОЛЬЖЕНИИ НЕОДНОРОДНО-ШЕРОХОВАТЫХ ПОВЕРХНОСТЕЙ

*M. B. Geilikman*

## SLOW SLIDING OF NONHOMOGENEOUSLY ROUGH SURFACES

Theoretical model of nonhomogeneous friction of nominally flat rough surfaces is formulated. Two types of nonhomogeneities are considered: random fluctuation of fractal relief of rough surfaces, and inhomogeneities of density of asperities. It is shown that interaction of inhomogeneities may lead to instability of slow sliding. A jump of displacements occurs under smooth relative movement of contacting surfaces. Rapid temporal rate of displacements appears as a precursor immediately before the instability time:  $|\partial u / \partial t| \sim (t_c - t)^{-1/2}$ .

## Введение

В ряде работ, как экспериментальных [1-3], так и теоретических [4] отмечалось, что пространственная неоднородность силы трения может приводить к неустойчивости стационарного (асейсмического) скольжения. В экспериментах Моги [1] было обнаружено также, что пространственная неоднородность плоскости скольжения приводит к характерным аномалиям деформации непосредственно перед потерей устойчивости. Эти аномалии предваряющей деформации представляют интерес как предвестник неустойчивости. В настоящей работе рассматривается теоретическая модель трения неоднородно-шероховатых поверхностей, в которой может возникать неустойчивость медленного скольжения, и выясняется, какие признаки можно считать предшествующими этой неустойчивости.

## Модель трения

Проблема контакта шероховатых поверхностей, очевидно, весьма сложна и при ее решении трудно обойтись без каких-либо модельных упрощений. Одно из них, вытекающее из эксперимента, заключается в том, что по мере сближения шероховатых поверхностей растет число пятен, вступающих в контакт, но средний размер отдельного пятна остается практически постоянным. Это позволило разработать упрощенную, но физически ясную модель контакта шероховатых поверхностей [5-8], находящуюся в согласии с законом Амонтона. Дальнейшее развитие эта

теория получила в работе [9], где, в частности, была учтена адгезия в упругом контакте и получены отклонения от закона Амонтона. Обобщая результаты перечисленных работ, нормальное напряжение на контакте номинально плоских шероховатых поверхностей можно записать в следующем приближенном виде:

$$P_n = n_1 n_2 s_a f_a I(h/d). \quad (1)$$

Поясним обозначения:  $n_1, n_2$  - плотности шероховатостей (на единицу номинальной площади) соответственно на 1-й и 2-й поверхностях;  $f_a$  - характерное значение нормальной силы на пятне отдельного парного контакта со средней площадью пятна  $s_a$ . Безразмерная функция  $I(x)$  описывает зависимость напряжения от сближения  $h$ , т.е. от величины перекрытия шероховатых слоев, а  $d$  имеет смысл характерной высоты шероховатостей. Выполнение закона Амонтона заключается в том, что нормальное напряжение  $P_n$  и касательное напряжение  $P_f$ , создаваемое трением, имеют одну и ту же функциональную зависимость от сближения  $I(h/d)$ , так что выполняется соотношение:

$$P_f = \kappa P_n, \quad (2)$$

где коэффициент пропорциональности  $\kappa$  можно назвать локальным коэффициентом трения. Относительно зависимости  $I(x)$  считается обычно, что при малых сближениях [6]

$$I(x) \sim x^\nu, \quad (3a)$$

где  $\nu=2+6$ . При больших сближениях [8] используется

$$I(x) \sim e^x, \quad (3b)$$

а также другие, более сложные зависимости [6, 8].

В перечисленных выше работах [5-8] формулы типа (1) были написаны для однородного случая, т.е. когда  $n_1, n_2$  и  $h$  не зависят от координат. Однако, как мы теперь знаем, реальные шероховатые поверхности имеют многомасштабную, фрактальную структуру [10-12]. Иными словами, рельеф шероховатой поверхности  $z(r)$  ( $r=x, y$ ) имеет не какую-то одну длину неоднородности, а целый спектр характерных длин, вообще говоря, вплоть до самых больших - порядка размеров образца. Это означает, что сближение

$$h = z_2(r) - z_1(r) \quad (4)$$

следует считать зависящим от координат в формуле (1), которую теперь мы будем понимать в локальном смысле ( $z_1(r)$  - рельеф верхней, а  $z_2(r)$  - рельеф нижней поверхности). При выводе формулы (1) предполагается, что на каждой из соприкасающихся площадок находится

статистически большое число шероховатостей. В то же время мы считаем, как это обычно делается в теории континуума, что размер площадки мал по сравнению с характерными макромасштабами задачи и в этом смысле на площадке можно определить локальные макровеличины. Такие элементы объема или поверхности называются в теории континуума физически бесконечно малыми. Вертикальную координату базы поверхности [5, 6] (т.е.  $z$ -координату наиболее высокой шероховатости на данной физически бесконечно малой площадке) мы назовем локальным значением рельефа  $z(\mathbf{r})$ .

Как правило,  $z(\mathbf{r})$  может рассматриваться как гауссово случайное поле, причем для фрактальных поверхностей его дисперсия является растущей функцией в зависимости от размеров области усреднения [12, 13], о чем пойдет речь ниже. Таким образом, флуктуации рельефа приводят к большим пространственным флуктуациям силы трения.

Для существенно неоднородных поверхностей плотности шероховатости также следует считать зависящими от координат:  $n_1 = n_1(\mathbf{r})$ . Эти неоднородности мы будем считать детерминированными и рассмотрим их взаимодействие.

#### Уравнение для смещения

Рассмотрим задачу о смещениях упругого полупространства (для определенности - верхнего полупространства "1"), к поверхности которого приложены силы (1) и (2). Для простоты будем считать нижнее полупространство "2" абсолютно жестким, а интересующее нас верхнее полупространство "1" недеформируемым в  $z$ -направлении, перпендикулярном плоскости поверхности. Полупространство "1" покоится, а нижнее - "2" - медленно движется со скоростью  $V$  так, что можно рассматривать задачу квазистатически. По мере движения локальная сила трения флуктуирует, что в свою очередь вызывает флуктуации смещения. Как было отмечено еще в работе [9], флуктуации смещения велики даже в таком простом случае, когда на границе полупространства приложены гауссовы случайные силы. В точку пространства с радиусом-вектором  $\mathbf{r}$  попадает элемент границы (вещество) из точки  $\mathbf{r}-\mathbf{u}(\mathbf{r})$ , где  $\mathbf{u}(\mathbf{r})$  - смещение поверхности "1". Поэтому в точке пространства с координатой  $\mathbf{r}$  будут действовать силы

$$P_n(\mathbf{r}) = n_1(\mathbf{r}-\mathbf{u}(\mathbf{r}))n_2(\mathbf{r})f_a s_a I\{[z_2(\mathbf{r})-z_1(\mathbf{r}-\mathbf{u}(\mathbf{r}))]/d\}, \quad (5a)$$

$$P_f(\mathbf{r}) = \kappa P_n(\mathbf{r}). \quad (5b)$$

Подчеркнем, что сдвиг аргумента вида  $\mathbf{r} \rightarrow \mathbf{r}-\mathbf{u}(\mathbf{r})$  еще не означает

отклонения от линейной теории упругости. Для применимости линейной теории упругости нужно, чтобы были малы деформации, т.е. не сами смещения, а их градиенты. Рассуждения такого рода использовались ранее при рассмотрении сил в диэлектриках и флуктуаций поля смещений в двумерных кристаллах [14, § 138, 15, § 15]. Используя известные формулы теории упругости [16], запишем смещения на поверхности полупространства:

$$u_{\alpha}(\mathbf{r}) = f_a s_a \int d^2 \mathbf{r}' [G_{\alpha z}(\mathbf{r}-\mathbf{r}') + \kappa G_{\alpha x}(\mathbf{r}-\mathbf{r}')] \times \\ \times n_1(\mathbf{r}-\mathbf{u}(\mathbf{r}')) n_2(\mathbf{r}') I \{h(\mathbf{r}')/d\}, \quad (6)$$

где  $h(\mathbf{r}) = z_2(\mathbf{r}) - z_1(\mathbf{r}-\mathbf{u}(\mathbf{r}))$ , а  $G_{\alpha\beta}(\mathbf{r}-\mathbf{r}')$  - функция Грина упругого полупространства. Мы считаем, что сила трения направлена по оси  $x$ . Уравнение (6) представляет собой нелинейное интегральное уравнение для  $u(\mathbf{r})$ , которое едва ли можно решить в общем виде. По этим причинам перейдем к упрощениям.

Пусть характерный масштаб изменения  $n_i(\mathbf{r})$  порядка  $R$ . На масштабах порядка  $R$  функция сближения  $I(h/d)$  сильно осциллирует за счет тех длин волн в спектре рельефа, которые значительно меньше, чем  $R$ . Поэтому под интегралом в формуле (6) можно произвести усреднение по быстроосциллирующим гармоникам. Для этого рельеф  $z(\mathbf{r})$  несколько условно разобьем на две части:

$$z(\mathbf{r}) = \zeta_R(\mathbf{r}) + \xi_R(\mathbf{r}), \quad (7)$$

где  $\zeta_R$  содержит гармоники с длинами волн  $\lambda > R$ , а  $\xi_R$  - с  $\lambda < R$ . Производя усреднение, заменим под интегралом

$$I \Rightarrow \langle I \rangle_R, \quad (8)$$

где  $\langle \dots \rangle_R$  - усреднение по быстроосциллирующим гармоникам  $\xi_R$ .

Далее будем считать, что неоднородности плотности шероховатостей можно считать локализованными в том смысле, что расстояния между неоднородностями гораздо больше их характерного размера  $R$ . В этом случае можно рассмотреть задачу о парном столкновении неоднородностей, одна из которых находится на нижней, а другая на верхней поверхности.

Вблизи неоднородности плотность можно записать в следующем виде:

$$n_i(\mathbf{r}) = \bar{n}_i + \eta_i(\mathbf{r}-\mathbf{r}_i), \quad (9)$$

где  $\bar{n}_i$  не зависит от координат. Функции  $\eta_i(\mathbf{r}-\mathbf{r}_i)$ , описывающие форму неоднородности, имеют максимум при  $\mathbf{r}=\mathbf{r}_i$  и спадают до нуля при  $|\mathbf{r}-\mathbf{r}_i| \gg R$ .



Найдем ту часть смещения (обозначим ее  $v_\alpha$ ), которая обусловлена взаимодействием неоднородностей, т.е. зависит сразу от координат и той и другой неоднородности. Из формул (6) и (9) получаем:

$$v_\alpha = f_a s_a \int d^2 r' [G_{\alpha z}(r-r') + \kappa G_{\alpha x}(r-r')] \langle I \rangle_R \eta_1(r' - \tilde{r}_1 - v(r')) \times \\ \times \eta_2(r' - r_2), \quad (10)$$

где введено обозначение:  $\tilde{r}_1 = r_1 - u + v$ . Чтобы вычислить интеграл в явном виде следует задаться каким-либо конкретным видом неоднородностей. Возьмем следующую простую форму:

$$\eta_i(r-r_i) = \eta_{im} \exp[-(r-r_i)^2/R^2]. \quad (11)$$

После чего в формуле (10)

$$\eta_1(r' - \tilde{r}_1 - v) \eta_2(r' - r_2) = \\ = \eta_{1m} \eta_{2m} \exp[-(v(r') - \rho)^2/2R^2] \exp[-2(r' - r_M)^2/R^2], \quad (12)$$

где введены обозначения

$$\rho = r_2 - r_1, \quad (13a)$$

$$r_M = \tilde{r}_1 + v + r_2. \quad (13b)$$

Из (10) и (12) видно, что основной вклад в интеграл вносится областью порядка  $R$  вокруг точки  $r_M$ , и медленно меняющиеся  $v(r')$  и  $u(r')$  можно взять при  $r' = r_M$ . Положив также и внешний аргумент  $r = r_M$ , получим уравнение для  $v(r_M)$ . Запишем его в безразмерном виде:

$$w = \gamma \exp[-(w-\tau)^2/2], \quad (14a)$$

где

$$w = v_x(r_M)/R, \quad (14b)$$

$$\tau = [r_{2x} - \tilde{r}_{1x}(r_M)]/R, \quad (14b)$$

$$\gamma = \frac{1}{\mu} \eta_{1m} \eta_{2m} f_a s_a \langle I(r_M) \rangle_R \exp[-\rho_y^2/2R^2], \quad (14g)$$

$y$ -компонента расстояния между неоднородностями  $\rho_y = r_{2y} - \tilde{r}_{1y}(r_M)$  играет роль "прицельного расстояния". Величина  $\mu$ , имеющая смысл эффективной жесткости взаимодействия неоднородностей, определяется формулой

$$1/\mu = 2^{-1/2} \int d^2 s [G_{xz}(s) + \kappa G_{xx}(s)] \exp(-s^2). \quad (15)$$

При выводе формул (14) и (15) был использован тот факт, что функция Грина является однородной функцией первого порядка  $\sim 1/r$ , и в интеграле была сделана замена переменной интегрирования  $s = (r - r_M)/R$ . Чтобы можно было для простоты ограничиться одним

уравнением (лишь для  $x$ -компоненты смещения) мы рассматриваем случай "лобового" столкновения неоднородностей, когда  $\rho \ll R$ . В общем случае из уравнения (10) легко получить систему уравнений для обеих  $x$ - и  $y$ - компонент смещения.

Обратимся теперь к вычислению  $\langle I \rangle_R$  и проведем это для того случая, когда  $I(x)$  имеет вид (3б):

$$I(h/d) = \exp(h/d), \quad (16)$$

любую зависимость вида (3а) можно получить дифференцированием (16) нужное число раз по  $d^{-1}$ . Подставляя (7) в (16), получим

$$\langle I \rangle_R = \exp[(\zeta_{R2} - \zeta_{R1})/d] \langle \exp[(\xi_{R2} - \xi_{R1})] \rangle_R. \quad (17a)$$

Считая  $\xi$ , как и в [12,13], гауссовым случайным полем, находим

$$\langle \exp[(\xi_{R2} - \xi_{R1})/d] \rangle_R = \exp[\langle (\xi_{R1}^2) \rangle + \langle (\xi_{R2}^2) \rangle / 2d^2]. \quad (17b)$$

Из экспериментальных [10] и теоретических [11-13] исследований шероховатых поверхностей следует, что

$$\langle \xi_R^2 \rangle = k^{2(1-H)} R^{2H}, \quad (18)$$

где  $0 < H < 1$  с наиболее характерным значением для большинства шероховатых поверхностей  $H=1/2$ . Величина  $k$ , имеющая размерность длины, называется топотезой [10]. Считая для простоты, что размерность  $H$  одинакова для обеих поверхностей, получим окончательно:

$$\langle I \rangle_R = \exp[(\zeta_{R2} - \zeta_{R1})/d] \exp[k^{2(1-H)} R^{2H}/d^2]. \quad (19)$$

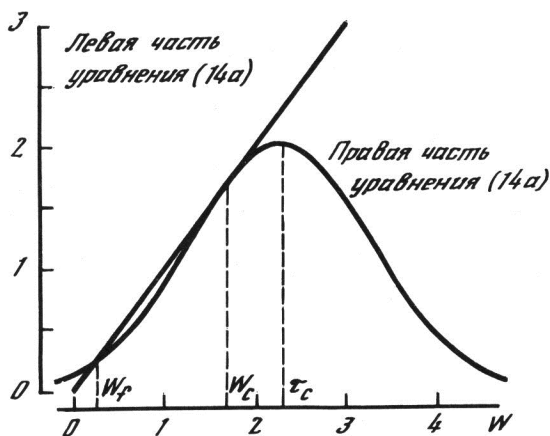
Таким образом  $\langle I \rangle_R$  возрастает с ростом  $R$ . Если шероховатая поверхность имеет некую максимальную длину неоднородности  $\lambda_{\max}$ , то при  $R > \lambda_{\max}$  в показателе экспоненты будет стоять  $\lambda_{\max}$  вместо  $R$ , и дальнейший рост прекратится.

Отметим, что если бы мы вычисляли деформацию, т.е. продифференцировали по  $r$  выражение (10), то подынтегралом стояла бы производная функции Грина  $\sim 1/r^2$ . Это дает резкое поведение подынтегрального выражения при малых  $r$ :  $\int d^2r/r^2 \sim \int dr/r$ . В этой ситуации функцию сближения  $I$  уже нельзя заменять средним значением, и деформации не могут быть большими из-за роста  $\langle I \rangle_R$ .

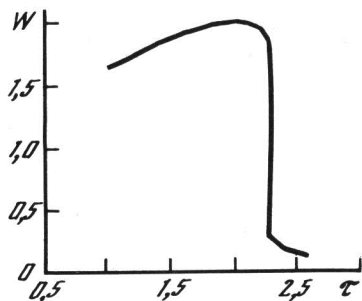
Если в уравнении (14)

$$\gamma < \gamma_m = e^{1/2}, \quad (20)$$

то имеется лишь одно решение, которое плавно зависит от  $\tau$  - расстояния между неоднородностями, если же  $\gamma > \gamma_m$ , то при постепенном изменении  $\tau$  в некой точке  $\tau_c$  происходит перескок с одного решения на другое. Эта ситуация проиллюстрирована на рис.1. На рис.2 пока-



Р и с . 1



Р и с . 2

зано изменение смещения как функции расстояния между неоднородностями  $\tau$ . Ситуация оказывается аналогичной зацеплению межфазного фронта (тройной линии) на примеси, которое было исследовано Жоанни и Де Женном [17].

Вблизи точки перескока поведение  $w(\tau)$  легко получить в аналитическом виде:

$$w = w_c + A(\gamma) (\tau_c - \tau)^{1/2}. \quad (21)$$

Зависимость коэффициента  $A(\gamma)$  задается в неявном виде:

$$A(\gamma) = [2w_c / (w_c^2 - 1)]^{1/2}, \quad (22a)$$

$$\gamma = w_c \exp(1/2w_c^2). \quad (22б)$$

Поведение  $w(\tau)$  вида (21) дает, очевидно, резкий корневой рост производной смещения по времени перед неустойчивостью. Возвращаясь к размерным переменным, получим из (21)

$$|\partial u_x(x_m) / \partial t| \approx \frac{A(\gamma) (RV)^{1/2}}{2} (t_c - t)^{-1/2}, \quad (23)$$

где  $V$  - скорость относительного перемещения поверхностей. Отметим, что при  $\gamma - \gamma_m \ll \gamma_m$  коэффициент  $A(\gamma)$  велик. Из (22) следует, что в этом случае

$$A(\gamma) \approx [\gamma_m / (\gamma - \gamma_m)]. \quad (24a)$$

В этой области легко получить связь  $A(\gamma)$  со скачком смещения при срыве  $\Delta u / R = w_c - w_f$  (см. рис.1):

$$A(\gamma) \approx (3R / \Delta u). \quad (24б)$$

Из сказанного выше следует, что зацепление неоднородностей и последующий срыв может происходить при  $\gamma > \gamma_m$ , т.е. для достаточно больших неоднородностей. Оценка минимального размера неоднороднос-

ти  $R_m$ , начиная с которого становится возможным зацепление при  $R > R_m$ , существенно зависит от конкретного вида функции сближения. Для экспоненциальной зависимости (16) получим из (14Г), (18) и (19) при  $H=1/2$ :

$$R_m \sim \frac{d^2}{k} \ln(\mu/\eta_{1m}\eta_{2m}f_a s_a) \sim \frac{d^2}{k} \ln(\mu A_n^2/\sigma_a A_f^2). \quad (25)$$

Для природных образцов  $k \sim 1$  см (для Arizona Bonito Lava-Flow  $k=2,3$  см [10]),  $\sigma_a \sim f_a/s_a$  - напряжение в пятне отдельного контакта,  $A_f$  - фактическая, а  $A_n$  - номинальная площади контакта. Как известно,  $A_f/A_n \sim 0,1+0,01$ . Если считать, как обычно [6], что характерные деформации  $\epsilon \sim \sigma/\mu \sim 10^{-4}$  [18. С.109], и положить для оценки  $d \sim k$ , то получим из (24):  $R_m \sim 10+10^2$  см, т.е. зацепление вполне реально.

### Заключение

Таким образом, в предложенной модели неоднородного трения возникает неустойчивость медленного скольжения - скачок смещения при плавном относительном смещении поверхностей. Предвестником неустойчивости может служить резкое возрастание скорости изменения смещений:  $|\partial u/\partial t| \sim (t_c - t)^{-1/2}$ . Эта неустойчивость не связана с достижением какого-либо порога по напряжению или по деформации. В данном случае "управляющей переменной" является само смещение, точнее, относительное перемещение контактирующих поверхностей с неоднородностями. Отметим, что корневое поведение скорости смещения не зависит от конкретной, выбранной нами формы неоднородности (11), а является следствием близости к точке касания левой и правой частей уравнения (14а) (см. рис.1). Ситуация, видимо, может измениться, если неоднородности плотности нельзя считать изолированными, и ограничиваться парным взаимодействием. Следует также отметить, что дальнейшее развитие неустойчивости может носить более сложный, кооперативный характер. В контексте развиваемых в последнее время лавинных моделей землетрясений [19] рассмотренная нами модель может давать одну из возможных картин стартовой неустойчивости, которая влечет за собой лавину того или иного количества последующих срывов.

Резкое возрастание скорости смещений перед неустойчивостью отмечалось как в лабораторных экспериментах [1], так и в наблюдательных данных (Тонанкай, 1944 г.; Сан-Фернандо, 1971 г. и др.) [1.18.20]. Интересно иметь более подробные данные, по которым можно было бы судить о функциональной зависимости предваряющих смещений от времени и о количественном согласии с полученной выше теоретической зависимостью.

## Литература

1. *Могги К.* Предсказание землетрясений. М.: Мир, 1988. 382 с.
2. *Dieterich J.N.* Preseismic fault slip and earthquake prediction // *J.Geophys.Res.* 1978. Vol.83. P.3940-3948.
3. *Scholz C., Molnar P., Johnson T.* Detailed studies of frictional sliding granite and implication for the earthquake mechanism // *J.Geophys.Res.* 1972. Vol.77. P.6392-6406.
4. *Nur A.* Non-uniform friction as a physical basis for earthquake mechanics // *ПАГЕОФН.* 1978. Vol.116. P.964-991.
5. *Крагельский И.В.* Трение покоя двух шероховатых поверхностей // *Изв. АН СССР. ОТН.* 1948. N.10. С.1621-1625.
6. *Крагельский И.В., Добычин М.Н., Комбалов В.С.* Основы расчетов на трение и износ. М.: Машиностроение, 1977. 513 с.
7. *Greenwood J.A., Williamson J.B.R.* Contact of nominally flat - surfaces // *Proc.Roy.Soc.* 1966. Vol.A295. P.300-315.
8. *Johnson K.L.* Contact mechanics. Cambridge Univ. Press: 1985, 509 p.
9. *Larkin A.I., Khmel'nitskii D.E.* Elastic model of dry friction / *Acad.Sci.USSR. Inst.Theor.Phys. Prepr. Chernogolovka,* 1979. 25 p
10. *Sayles R.S., Thomas T.R.* Surface topography as a non-stationary random process // *Nature.* 1978. Vol.271, N.5644. P.431-434; Vol. 273, N.5663. P.573.
11. *Mandelbrot B.* Stochastic models for the earth's relief, the shape and the fractal dimension of coastlines, and the number-area rule for island // *Proc. Nat. Acad.Sci.* 1975. N.10. P.3825-3828.
12. *Feder F.* Fractals. N-Y.: Plenum Press, 1988. 400 p.
13. *Berry M.V.* Diffractals // *J.Phys.Ser.A.* 1979. Vol.12, N.6. P.781-797.
14. *Ландау Л.Д., Лифшиц Е.М.* Статистическая физика. М.: Наука, 1976. 583 с.
15. *Ландау Л.Д., Лифшиц Е.М.* Электродинамика сплошных сред. М.: ГИТТЛ, 1957. 532 с.
16. *Ландау Л.Д., Лифшиц Е.М.* Теория упругости. М.: Наука, 1988. 246 с.
17. *Joanny J.F., de Jennes P.G.* A model for contact angle hysteresis // *J.Chem.Phys.* 1984. Vol.84, N.1. P.552-562.
18. *Касахара К.* Механика землетрясений. М.: Мир, 1985. 264 с.
19. *Bak P., Tang C.* Earthquake as a self-organized critical phenomenon // *J.Geophys.Res.* 1989. Vol.94, N. B11. P.15.635-15.638.
20. *Рикитаке Т.* Предсказание землетрясений. М.: Мир, 1979. 289 с.